

Leczione del 29/03/04

ing. R. De Juliis

Metodi di risoluzione delle traviature reticolari

- ipotesi alla base della risoluzione, definizione di traviatura reticolare, traviatura isostatica, iperstatiche, labili

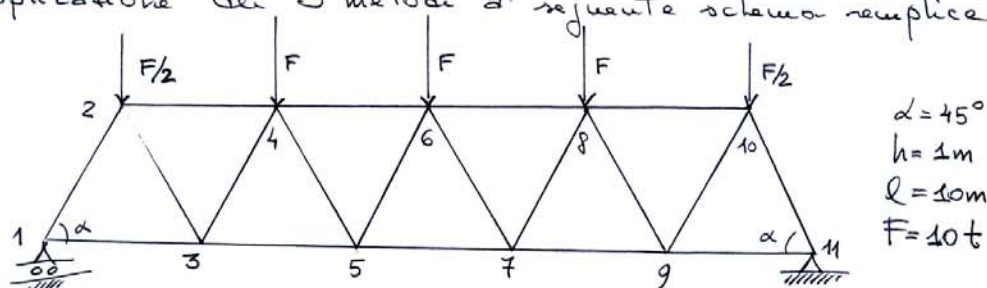
- Metodi di risoluzione

(1) scrittura delle equazioni di equilibrio ai nodi (soluzione grafica solo se c'è nodo con al massimo 2 altezze concorrenti)

(2) sezioni di Ritter (considerazioni generali)

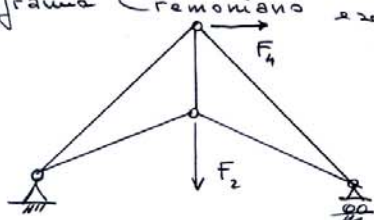
(3) diagramma Cremoniano

- Applicazione dei 3 metodi al seguente schema semplice



(analogia meccanica col caso di trave appoggiate-appoggiate).

Per il diagramma Cremoniano esempio più semplice



Riferimento:

E. Viola "Esercitazioni di Scienza delle costruzioni"
Vol. 1 pag. 7.1 - 7.17

(1)

- Calcolo di spostamenti e rotazioni mediante il principio dei lavori virtuali

Nell'ambito dei sistemi elastici il P.L.V. si enuncia

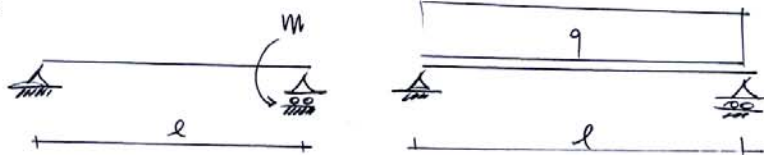
"in un solido deformabile soggetto ad un insieme di forze in equilibrio, il lavoro virtuale esterno è uguale al lavoro virtuale interno per qualsiasi insieme di spostamenti virtuali piccolissimi congiunti"

Nelle applicazioni si fa riferimento ad un sistema di forza fittizio (che lavora per la componente di spostamento che ci interessa calcolare) e ad un sistema di spostamenti reali.

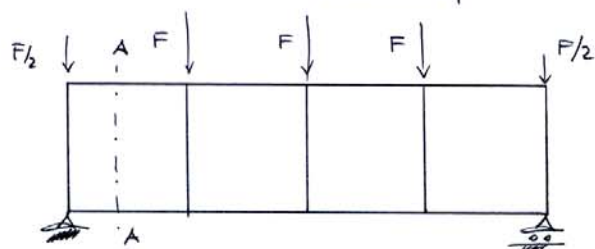
Si ricorda che il lavoro interno, nel caso sia solo il momento flettente a caratterizzare la deformata risulta essere, nel caso di sistema forza fittizio e deformazioni reali pari a:

$$d_{ri} = \int_S M^{(f)} x^{(r)} ds$$

Esempio:



- Trave reticolare Vierendeel



Hp: non si tiene conto del peso proprio sistema
- metodo di Eugenio Diaz montanti o rigidi

Passi

- Rigidità tangente delle varie aste
- Reazioni agli appoggi
- Taglio nei correnti
- Momenti nei nodi ai correnti
- Sforzi normali nei correnti (ret. A-A)
- Momenti ai nodi nei montanti
- Sforzi normali nei montanti

(2)

- Considerazioni sulla deformata.

Tabella XXXI, f

Momenti	$M^{(0)}$	$+ (\alpha^{(1)} \times M^{(1)}) + (\alpha^{(2)} \times M^{(2)}) = M(\text{kgm})$
M_{AB}	0	- 0,0277
M_{BA}	"	- 463
M_{BC}	"	- 331
M_{CB}	"	331
M_{CD}	"	28
M_{DC}	"	- 28
M_{DE}	"	392
M_{ED}	"	- 392
		- 494
		202
		- 1035
		108
		- 615
		615
		- 108
		307
		- 46

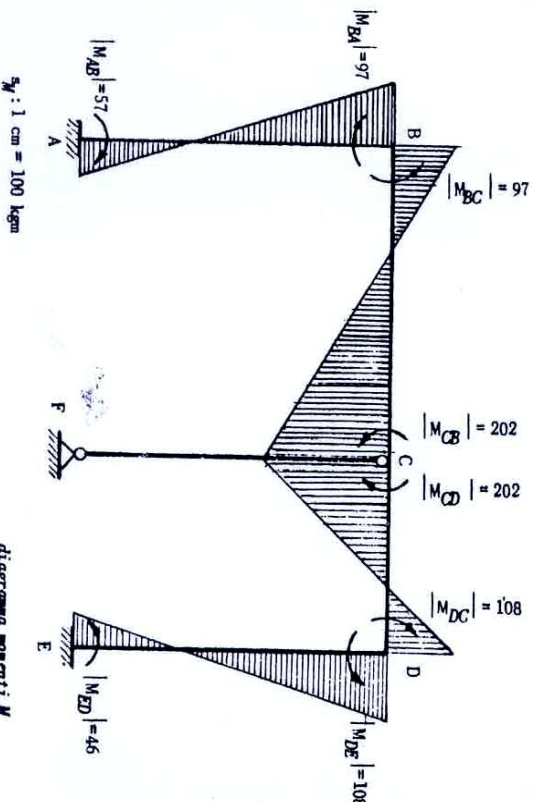


diagramma momenti M

Fig. 444

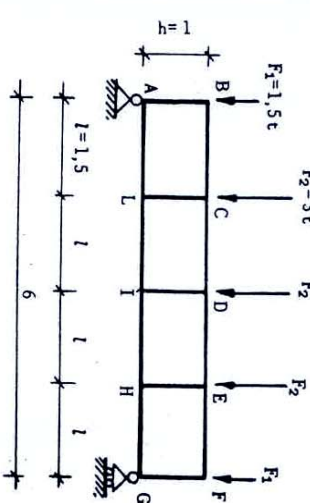
2) Quantità da determinare: tracciare il diagramma dei momenti e determinare gli sforzi normali nelle aste.

$$k_W : 1 \text{ cm} = 100 \text{ kgm}$$

B) TRAVATURE (*)

ESERCIZIO 121 - Determinazione del diagramma dei momenti e dei valori degli sforzi normali nelle aste per una trave Vierendeel in acciaio.

1) Dati: vedi fig. 445



sez. trasversale
della generica asta

Asta	Sezione
BC	2L 60x6
CD	2L 60x6
DE	2L 60x6
EF	2L 60x6
BA	2L 80x8
CI	2L 80x8
DT	2L 80x8
EH	2L 80x8
FG	2L 80x8
AL	2L 40x4
L.I	2L 40x4
I.H	2L 40x4
H.G	2L 40x4

$\xi_c - \xi_c$: asse bericentrico
s-s : asse di sollecitazione

Fig. 445

(*) Vedi: O. BELLUZZI - Scienza delle Costruzioni, vol. II - Zanichelli, Bologna; E. GIANGRECO - Teoria e Tecnica delle Costruzioni, vol. II - Liguori, Napoli.

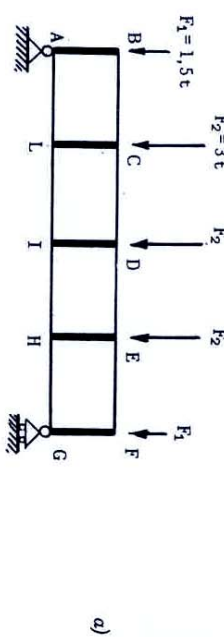
3) Osservazioni:

- non tener conto del peso proprio delle aste;
- effettuare il calcolo mediante il metodo approssimato di Engesser (*) ipotizzando cioè montanti infinitamente rigidi.

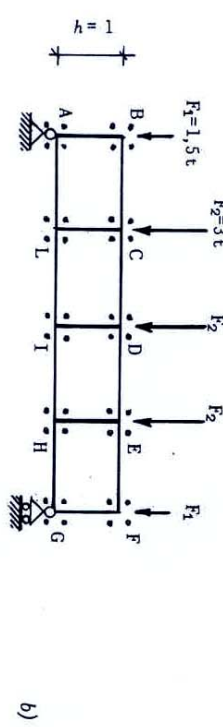
4) Calcolo:

a) schematizzazione di calcolo

In conformità con l'ipotesi alla base del procedimento di



a)



b)

(*) Si riportano qui di seguito alcuni richiami del procedimento di Engesser per il calcolo delle travi Vierendeel.

Come è noto tale procedimento è basato sull'ipotesi di montanti infinitamente rigidi. Con riferimento a tale schematizzazione si procede, in perfetta analogia con la fase del procedimento di Griner relativa al calcolo dei momenti d'incastro perfetto, alla determinazione dei tagli e dei momenti nei correnti.

Per ogni campo della travatura si può infatti calcolare il taglio che compete al corrente superiore ed a quello inferiore mediante ripartizione del taglio complessivo secondo i classici coefficienti di ripartizione a taglio. Noto il valore del taglio nei correnti e' possibile ricavare, quando si tenga conto che a causa della schematizzazione addottata i momenti hanno andamento lineare nei singoli campi con punto di nullo a metà campo, i valori dei momenti nei correnti stessi in corrispondenza dei nodi.

La determinazione degli sforzi normali nei correnti può essere perseguita attraverso l'impostazione delle condizioni di equilibrio alla rotazione ed alla traslazione orizzontale delle parti di travatura delimitate da sezioni verticali effettuate in corrispondenza della mezza - ria di ciascun campo (in corrispondenza di tali sezioni i momenti nei correnti risultano, come già detto, nulli a causa della schematizza - zione adottata).

I momenti, i tagli e gli sforzi normali nei montanti possono essere in fine determinati attraverso l'impostazione delle condizioni di equili - brio alla rotazione ed alla traslazione dei nodi.

Engesser (*) si considerano i montanti infinitamente rigidi per cui la travatura si può schematizzare indifferenemente come indicato in fig. 446 a) o b).

b) rigidezze a taglio delle aste dei correnti

Indicati con I_s ed I_i i momenti d'inerzia costanti delle sezioni del corrente superiore ed inferiore relativamente ai ri - spettivi assi baricentrici g_c-g_c normali agli assi di sollecita - zione $s-s$ (fig. 445), si ha (vedi tabella VI all'Appendice del I volume):

(*) Confronta: O. BELLUZZI - Scienze delle Costruzioni, vol. II, cap. XX, par. 477 - Zanichelli, Bologna.

Fig. 445

d) reazioni degli appoggi

Lata la simmetria dello schema, indicate con R_A ed R_G le reazioni verticali degli appoggi, risultano:

$$R_A = R_G = \frac{3 E_2 + 2 F_1}{2} = \frac{3 \times 3000 + 2 \times 1500}{2} = 6000 \text{ kg}$$

Per le rigidezze a taglio, a causa dei valori costanti di I e di l , si hanno valori costanti per tutte le aste del corrente superiore e per tutte le aste del corrente inferiore.

Indicati con V_s e V_i tali valori costanti si ha:

- per le aste del corrente superiore:

$$V_s = \frac{12 E I_s}{l^3} = \frac{12 E}{l^3} \times 45,6 \text{ kg/cm}$$

- per le aste del corrente inferiore:

$$V_i = \frac{12 E I_i}{l^3} = \frac{12 E}{l^3} \times 8,94 \text{ kg/cm}$$

c) coefficienti di ripartizione dei tagli

Per tutti i campi, data la costanza delle rigidezze a taglio V_s e V_i , risulta (*):

$$\rho_s = \frac{V_s}{V_s + V_i} = \frac{45,6}{45,6 + 8,94} = \frac{45,6}{54,5} = 0,836$$

$$\rho_i = \frac{V_i}{V_s + V_i} = \frac{8,94}{54,5} = 0,164$$

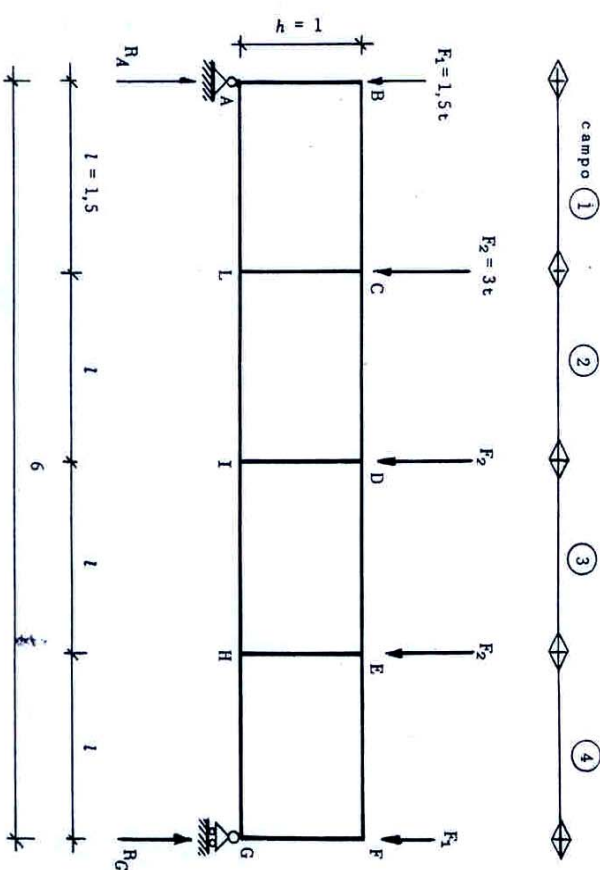


Fig. 447

$$T_1 = R_A - F_1 = 6000 - 1500 = 4500 \text{ kg}$$

(*) Con ρ_s e ρ_i si sono indicati rispettivamente i coefficienti di ripartizione dei tagli relativamente al corrente superiore ed al corrente inferiore.

$$\begin{aligned}
 T_2 &= R_A - F_1 - F_2 = 6000 - 1500 - 3000 = 1500 \text{ kg} \\
 T_3 &= -T_2 = -1500 \text{ kg} \\
 T_4 &= -T_1 = -4500 \text{ kg}
 \end{aligned}$$

Si ha di conseguenza:

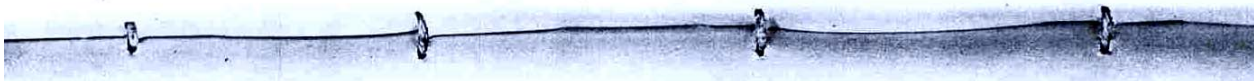
$$\begin{aligned}
 T_{BC} &= \rho_s T_1 = 0,836 \times 4500 = 3762 \text{ kg} \\
 T_{AL} &= \rho_i T_1 = 0,164 \times 4500 = 738 \text{ kg} \\
 T_{CD} &= \rho_s T_2 = 0,836 \times 1500 = 1254 \text{ kg} \\
 T_{LI} &= \rho_i T_2 = 0,164 \times 1500 = 246 \text{ kg} \\
 T_{DF} &= -T_{CD} = -1254 \text{ kg} \\
 T_{IH} &= -T_{LI} = -246 \text{ kg} \\
 T_{EF} &= -T_{BC} = -3762 \text{ kg} \\
 T_{HG} &= -T_{AL} = -738 \text{ kg}
 \end{aligned}$$

f) momenti ai nodi nei correnti

Tenendo conto che a causa dell'ipotesi di infinita rigidezza dei montanti nelle sezioni di mezzeria delle aste dei correnti il momento e' nullo, si ha (*) (fig. 448 a)).

$$\begin{aligned}
 M_{RC} &= M_{CB} = -|T_{BC}| \cdot \frac{l}{2} = -3762 \times \frac{1,5}{2} = -2821 \text{ kgm} \\
 M_{CD} &= M_{HC} = -|T_{CD}| \cdot \frac{l}{2} = -1254 \times \frac{1,5}{2} = -940 \text{ kgm} \\
 M_{DF} &= M_{ED} = |T_{DE}| \cdot \frac{l}{2} = 1254 \times \frac{1,5}{2} = 940 \text{ kgm} \\
 M_{EF} &= M_{FE} = |T_{EF}| \cdot \frac{l}{2} = 3762 \times \frac{1,5}{2} = 2821 \text{ kgm}
 \end{aligned}$$

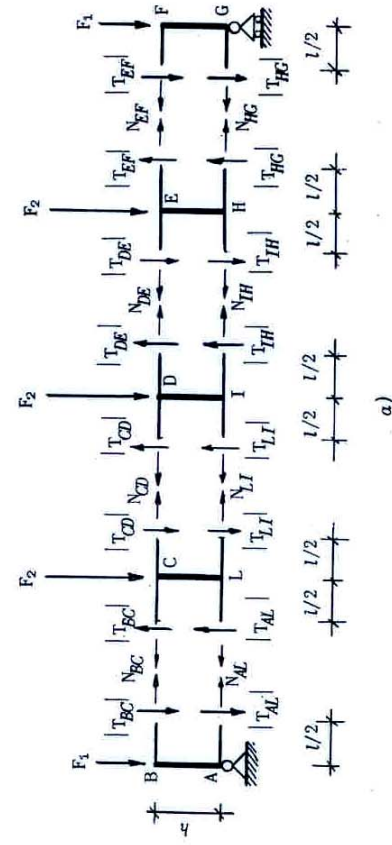
(*) Per il segno dei momenti si e' adottata la convenzione di Cross e quindi sono stati assunti positivi i momenti che come azione delle aste sui nodi risultano antiorari.



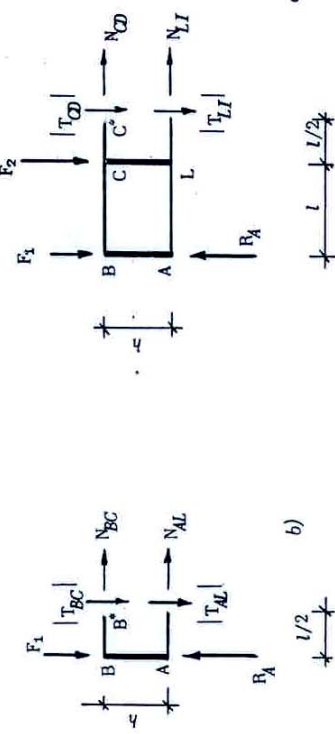
$$\begin{aligned}
 M_{AL} &= M_{LA} = -|T_{AL}| \cdot \frac{l}{2} = -738 \times \frac{1,5}{2} = -553 \text{ kgm} \\
 M_{LI} &= M_{IL} = -|T_{LI}| \cdot \frac{l}{2} = -246 \times \frac{1,5}{2} = -184 \text{ kgm}
 \end{aligned}$$

$$M_{IH} = M_{HI} = |T_{IH}| \cdot \frac{l}{2} = 246 \times \frac{1,5}{2} = 184 \text{ kgm}$$

$$M_{HG} = M_{GH} = |T_{HG}| \cdot \frac{l}{2} = 738 \times \frac{1,5}{2} = 553 \text{ kgm}$$



a)



c)

N.B. - Gli sforzi normali N sono stati riportati col verso assunto positivo per convenzione. I tagli T e le reazioni R sono stati riportati coi loro versi effettivi.

g) sforzi normali nei correnti

Le condizioni di equilibrio alla traslazione delle parti di

Fig. 448

e quindi (*):

$$N_{BC} = -3375 \text{ kg}$$

$$N_{CD} = -7875 \text{ kg}$$

travatura delimitate da sezioni in mezzeria dei campi (figg. 448

b) e c)) forniscono (*):

$$N_{BC} + N_{AL} = 0 \quad \text{da cui} \quad N_{BC} = -N_{AL}$$

$$N_{CD} + N_{LI} = 0 \quad \text{da cui} \quad N_{CD} = -N_{LI}$$

Le ulteriori relazioni utili per la determinazione degli sforzi normali vengono fornite dalle condizioni di equilibrio alla rotazione attorno a generici punti del piano medio della struttura, ad esempio attorno ai punti B* e C*. Si ottiene, rispettivamente:

$$\begin{aligned} -N_{AL} + h - F_1 \frac{l}{2} + R_A \frac{l}{2} &= 0 \\ -N_{LI} + h - F_1 \left(l + \frac{l}{2}\right) - F_2 \frac{l}{2} + R_A \left(l + \frac{l}{2}\right) &= 0 \end{aligned}$$

da cui:

$$\begin{aligned} N_{AL} &= \frac{1}{h} \left(-F_1 \frac{l}{2} + R_A \frac{l}{2} \right) = -1500 \times \frac{1,5}{2} + 6000 \times \frac{1,5}{2} = \\ &= 3375 \text{ kg} \end{aligned}$$

$$\begin{aligned} N_{LI} &= \frac{1}{h} \left[-F_1 \left(l + \frac{l}{2}\right) - F_2 \frac{l}{2} + R_A \left(l + \frac{l}{2}\right) \right] = \\ &= -1500 \times \left(1,5 + \frac{1,5}{2}\right) - 3000 \times \frac{1,5}{2} + 6000 \times \left(1,5 + \frac{1,5}{2}\right) = 7875 \text{ kg} \end{aligned}$$

ed ancora, per la simmetria:

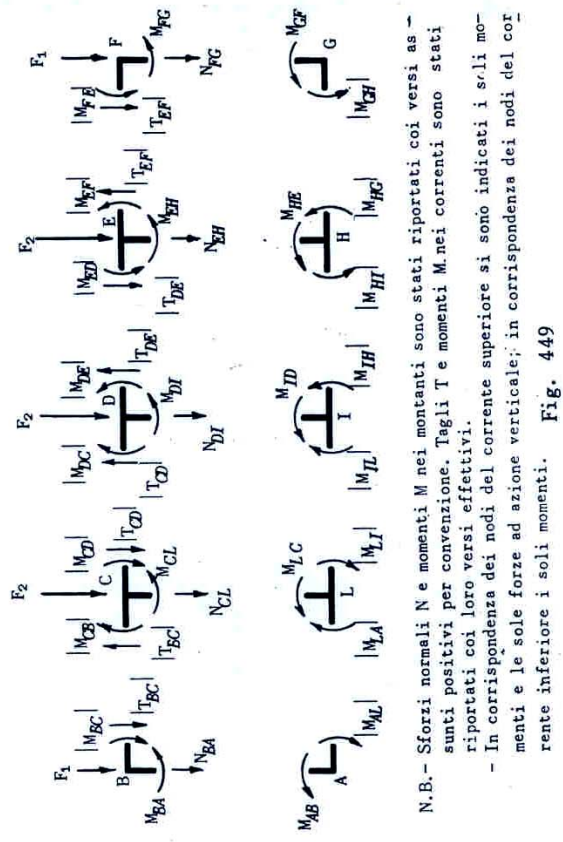
$$N_{DF} = N_{CD} = -7875 \text{ kg}$$

$$N_{EF} = N_{BC} = -3375 \text{ kg}$$

$$N_{IH} = N_{LI} = 7875 \text{ kg}$$

$$N_{HG} = N_{AL} = 3375 \text{ kg}$$

h) momenti ai nodi nei montanti le condizioni di equilibrio alla rotazione dei nodi si scrivono:



N.B.- Sforzi normali N e momenti M nei montanti sono stati riportati coi versi assunti positivi per convenzione. Tagli T e momenti M nei correnti sono stati riportati coi loro versi effettivi.

- In corrispondenza dei nodi del corrente superiore si sono indicati i soli momenti e le sole forze ad azione verticale; in corrispondenza dei nodi del corrente inferiore i soli momenti.

Fig. 449

- (*) Gli sforzi normali nelle aste dei correnti si sarebbero potuti determinare più rapidamente tenendo conto che essi debbono formare una coppia (momento interno) di valore pari al momento delle forze esterne rispetto alla sezione di mezzeria del campo considerato (momento esterno).

- (*) Ci si e' limitati, per la simmetria, a considerare i primi due campi della travatura.

vono (*) (fig. 449):

$$\begin{aligned}
 - M_{BA} + |M_{BC}| &= 0 & ; & - M_{AB} + |M_{AL}| = 0 \\
 - M_{CL} + |M_{CB}| + |M_{CD}| &= 0 ; & - M_{LC} + |M_{LA}| + |M_{LI}| = 0 \\
 - M_{DI} + |M_{DC}| + |M_{DE}| &= 0 ; & - M_{ID} + |M_{IL}| - |M_{IR}| = 0 \\
 - M_{EH} + |M_{ED}| - |M_{EF}| &= 0 ; & - M_{HE} - |M_{FI}| - |M_{HG}| = 0 \\
 - M_{FG} - |M_{FE}| &= 0 & ; & - M_{GF} - |M_{GH}| = 0
 \end{aligned}$$

da cui:

$$\begin{aligned}
 M_{BA} &= |M_{BC}| = 2821 \text{ kgm} ; & M_{BA} = |M_{AL}| = 553 \text{ kgm} \\
 M_{CL} &= |M_{CB}| + |M_{CD}| = 2821 + 940 = 3751 \text{ kgm} \\
 M_{LC} &= |M_{LA}| + |M_{LI}| = 553 + 184 = 737 \text{ kgm} \\
 M_{DI} &= |M_{DC}| - |M_{DE}| = 940 - 940 = 0 \\
 M_{ID} &= |M_{IL}| - |M_{IH}| = 184 - 184 = 0 \\
 M_{EH} &= |M_{ED}| - |M_{EF}| = - 940 - 2821 = - 3751 \text{ kgm} \\
 M_{HE} &= - |M_{HI}| - |M_{HC}| = - 184 - 553 = - 737 \text{ kgm} \\
 M_{FG} &= - |M_{FE}| = - 2821 \text{ kgm} ; & M_{GF} = - |M_{GH}| = - 553 \text{ kgm}
 \end{aligned}$$

i) sforzi normali nei montanti
Le condizioni di equilibrio alla traslazione verticale dei nodi del corrente superiore si scrivono (*) (**) (fig. 449):

$$\begin{aligned}
 N_{BA} + F_1 + |T_{BC}| &= 0 , \\
 N_{CL} + F_2 - |T_{BG}| + |T_{CD}| &= 0 , \\
 N_{DI} + F_2 - |T_{CG}| - |T_{DE}| &= 0 , \\
 N_{EH} + F_2 + |T_{DE}| - |T_{EF}| &= 0 , \\
 N_{FG} + F_1 + |T_{EF}| &= 0
 \end{aligned}$$

da cui:

$$\begin{aligned}
 N_{BA} &= - F_1 - |T_{BC}| = - 1500 - 3762 = - 5262 \text{ kg} \\
 N_{CL} &= - F_2 + |T_{BC}| - |T_{CD}| = - 3000 + 3762 - 1254 = - 492 \text{ kg} \\
 N_{DI} &= - F_2 + |T_{CG}| + |T_{DE}| = - 3000 + 1254 + 1254 = - 492 \text{ kg} \\
 N_{EH} &= - F_2 - |T_{DE}| + |T_{EF}| = - 3000 - 1254 + 3762 = - 492 \text{ kg} \\
 N_{FG} &= - F_1 - |T_{EF}| = - 1500 - 3762 = - 5262 \text{ kg}
 \end{aligned}$$

l) diagramma dei momenti

Il diagramma dei momenti e' riportato in fig. 450.

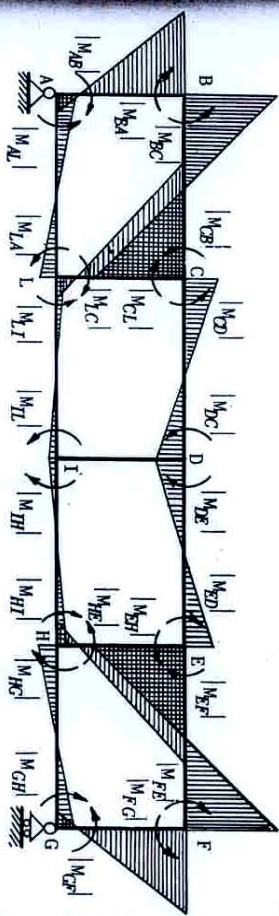


diagramma dei momenti

N.B. - I momenti indicati in corrispondenza dei nodi rappresentano le azioni dei nodi sulle astre.

Fig. 450

(*) Tenendo conto della simmetria si poteva limitare la scrittura della equazione di equilibrio ai soli nodi di metà struttura e ricavare i valori dei momenti nei montanti relativi a tale parte utilizzando poi, per la determinazione dei restanti momenti, le condizioni di simmetria.

(**) Anche in questo caso, come per la determinazione dei momenti nei montanti (vedi nota a pag. 730), si poteva, utilizzando le condizioni di simmetria, limitare la scrittura delle equazioni di equilibrio ai nodi di metà struttura.

(*) Si potevano indifferentemente scrivere le condizioni di equilibrio alla traslazione verticale dei nodi del corrente inferiore.

(**) Anche in questo caso, come per la determinazione dei momenti nei montanti (vedi nota a pag. 730), si poteva, utilizzando le condizioni di simmetria, limitare la scrittura delle equazioni di equilibrio ai nodi di metà struttura.